

Anexo I: Relación del trabajo con los Objetivos de Desarrollo Sostenible de la Agenda 2030

Tabla AI-1: Grado de relación con los Objetivos de Desarrollo Sostenible.

Objetivo de desarrollo sostenible	Alto	Medio	Bajo	No Procede
ODS 1. Fin de la pobreza				X
ODS 2. Hambre cero				X
ODS 3. Salud y bienestar				X
ODS 4. Educación de calidad				X
ODS 5. Igualdad de género				X
ODS 6. Agua limpia y saneamiento				X
ODS 7. Energía asequible y no contaminante				X
ODS 8. Trabajo decente y crecimiento económico		X		
ODS 9. Industria, innovación e infraestructuras			X	
ODS 10. Reducción de las desigualdades				X
ODS 11. Ciudades y comunidades sostenibles				X
ODS 12. Producción y consumo responsables.	X			
ODS 13. Acción por el clima		X		
ODS 14. Vida submarina				X
ODS 15. Vida de ecosistemas terrestres.	X			
ODS 16. Pau, justicia e instituciones sólidas.				X
ODS 17. Alianzas para alcanzar objetivos				X

Reflexión sobre la relación entre el TFG y los ODS

Respecto a los Objetivos de Desarrollo Sostenible que se puedan relacionar con este trabajo final de carrera se puede mencionar que éstos se encuentran sobre todo en el ámbito de ecosistemas terrestres y productivo.

Primeramente, el objetivo de *Producción y consumo responsables* se ve representado por la meta final del proyecto, siendo la selección de cepas específicas que tengan una producción acorde con la calidad de vino que se quiera obtener. Se seleccionarán las cepas que puedan someterse al riego deficitario y aun así obtener un buen rendimiento, por lo que, tanto el consumo de agua para riego como la producción de la uva son responsables.

En segundo lugar, esta clasificación y selección de clones de la uva Bobal permitirá preservar el patrimonio genético y aprovechar la biodiversidad existente de los viñedos antiguos de la D.O. Utiel-Requena, lo cual caería dentro del objetivo de *Vida de ecosistemas terrestres*. Juntando eso con la intención de utilizar el mínimo agua posible para regar debido al clima de sequía que nos enfrentamos cada vez más, se puede ver un vínculo ligero con el objetivo *Acción por el clima*.

Este proyecto a largo plazo permitirá también impulsar la actividad económica respecto a la variedad Bobal en el sector vitivinícola. Los clones de uva Bobal que serán clasificados y registrados se pondrán a la disponibilidad para su uso por parte de los viticultores para la producción del vino. Esto permitirá a los viticultores elegir una uva Bobal con características y cualidades más deseables y, por ende, unos productos que pueden ser más llamativos al mercado, lo que podría incrementar la economía e industria vitivinícola respecto al DOP Utiel-Requena. Este aspecto está relacionado con el objetivo *Trabajo decente y crecimiento económico*, y en menor medida, *Industria, innovación e infraestructuras*.

Anexo II

Tabla AII-1: Ampelografía de la variedad de vid Bobal. Elaborada a partir de información MAPA (MAPA, accedido 26/7/2022).

Racimo		
	Tamaño	Mediano-grande
	Compacidad	Compacto
	Longitud pedúnculo	Muy corto
Baya		
	Tamaño	Medianas
	Uniformidad tamaño	Uniforme
	Color epidermis	Azul negra
	Forma perfil	Esférica
	Separación pedicelo	Difícil
	Grosor piel	Media
	Pigmentación pulpa	No coloreada
	Consistencia pulpa	Blanda
	Suculencia pulpa	Jugosa
	Sabores particulares	Ninguno
	Formación pepitas	Presentes
Sarmiento		
	Color	Marrón
	Relieve superficie	Estriado
Sumidad		
	Apertura extremidad	Completamente abierta
	Pelos postrados extremidad	Pigmentación
		Densidad
Pámpano		
	Color entrenudo	Cara dorsal
		Cara ventral
	Color nudo	Cara dorsal
		Cara ventral
	Densidad pelos tumbados	En nudo
		En entrenudo
Hoja joven		
	Intensidad antociánica de las 6 hojas terminales	Débil
	Densidad pelos tumbados	Fuerte-muy fuerte
Hoja adulta		
	Tamaño limbo	Grande
	Forma del limbo	Orbicular
	Número de lóbulos	Cinco
	Disposición de lóbulos del seno pecíolar	Superpuestos en V
	Hinchazón del haz	Media
	Perfil en sección transversal	Alabeado
	Profundidad y disposición de los lóbulos de los senos laterales superiores	Profundidad superficial-media con lóbulos ligeramente superpuestos
	Pigmentación del haz	Nula
	Densidad entre nervios principales	Pelos tumbados
		Pelos erguidos
	Longitud del pecíolo	Ligeramente más corto que el nervio central
	Densidad pelos sobre el pecíolo	Baja
	Forma de dientes	Rectilíneos-convexos
	Longitud dientes	Cortos y con relación longitud-anchura pequeña



Figura AII-1: Hoja Bobal. Imagen izquierda, haz de la hoja Bobal; imagen medio, envés de ésta; imagen derecha, pámpano joven (MAPA, accedido 26/7/2022).

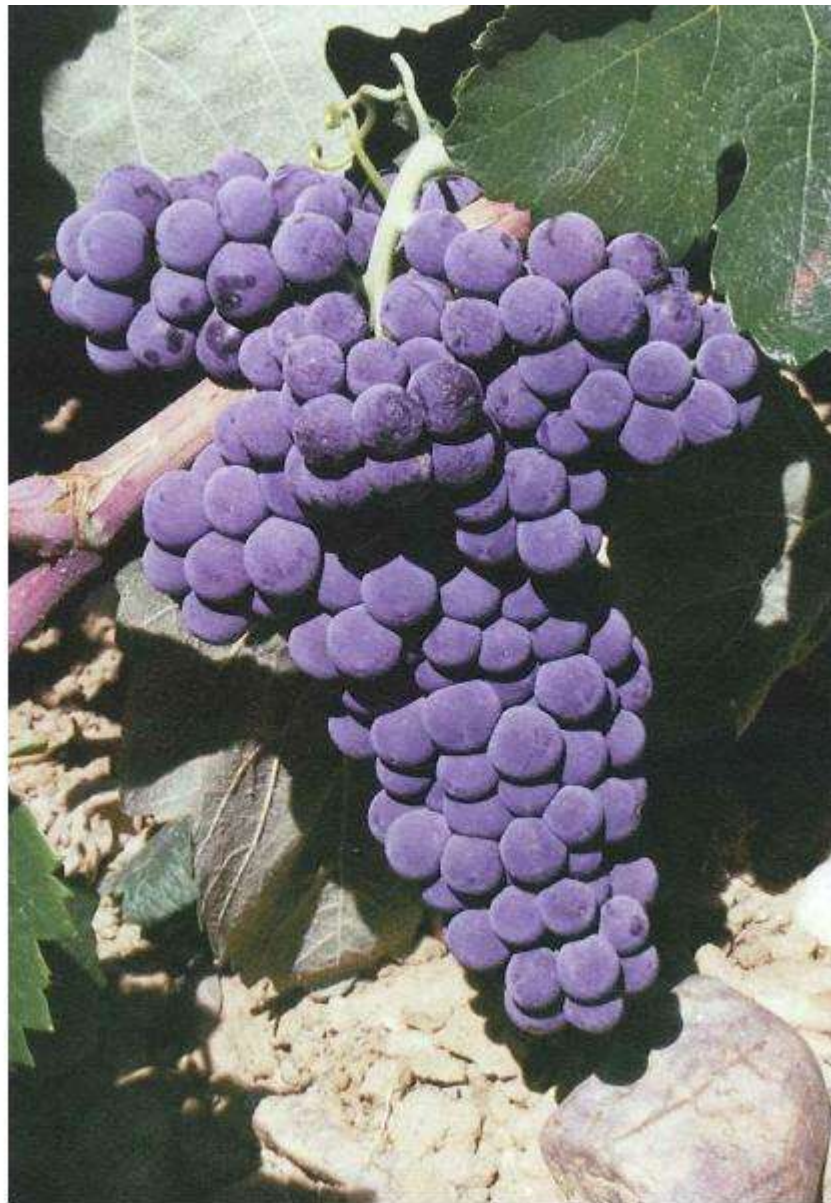


Figura AII-2: Imagen de un racimo Bobal (MAPA, accedido 26/7/2022).

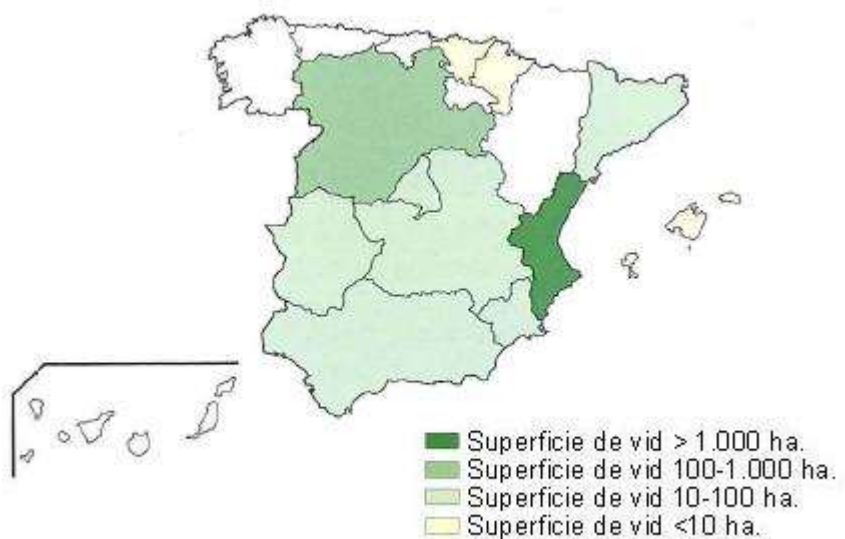


Figura AII-3: Distribución geográfica de la superficie de vid Bobal por hectáreas y por comunidad autónoma (MAPA, accedido 26/7/2022).

Tabla AII-2: Promedios y desviación estándar de producción, peso de poda, Índice de Ravaz, compacidad y peso de baya

Biotipo	Producción (kg cepa)	Peso Poda (kg madera)	Índice de Ravaz	Compacidad	Peso Baya (g)
4.1	$2,01 \pm 0,5$ abc	$0,38 \pm 0,1$ abcde	$5,5 \pm 1,8$ abc	$1,3 \pm 0,4$ a	$3,19 \pm 0,8$ e
4.2	$3,06 \pm 1,1$ bcdef	$0,36 \pm 0,1$ abcde	$9,0 \pm 3,3$ bcdef	$8,7 \pm 0,4$ f	$2,59 \pm 0,9$ abcde
4.8	$4,13 \pm 1,2$ ef	$0,29 \pm 0,1$ abcd	$15,2 \pm 4,9$ i	$6,8 \pm 2,0$ def	$2,63 \pm 0,4$ abcde
5.3	$3,61 \pm 1,1$ cdef	$0,34 \pm 0,1$ abcd	$10,7 \pm 3,4$ defghi	$6,3 \pm 1,7$ def	$2,48 \pm 0,6$ abcde
7.2	$3,70 \pm 1,1$ cdef	$0,36 \pm 0,1$ abcde	$10,8 \pm 3,4$ defghi	$6,0 \pm 1,9$ def	$2,11 \pm 0,3$ abcd
11.6	$3,42 \pm 1,6$ cdef	$0,28 \pm 0,1$ abcd	$12,3 \pm 2,1$ efghi	$6,8 \pm 1,4$ def	$2,09 \pm 0,4$ abc
12.4	$3,22 \pm 1,1$ cdef	$0,33 \pm 0,1$ abcd	$9,7 \pm 0,6$ cdefgh	$8,0 \pm 0,9$ ef	$1,65 \pm 0,3$ a
14.5	$3,28 \pm 1,4$ cdef	$0,35 \pm 0,2$ abcd	$10,2 \pm 2,0$ cdefgh	$6,3 \pm 2,0$ def	$2,30 \pm 0,2$ abcde
14.9	$2,82 \pm 0,8$ bcdef	$0,28 \pm 0,1$ abcd	$11,4 \pm 3,9$ defghi	$7,8 \pm 1,4$ ef	$2,45 \pm 0,4$ abcde
15.5	$2,50 \pm 0,6$ abcde	$0,41 \pm 0,1$ bcde	$6,4 \pm 1,9$ abcd	$7,2 \pm 1,3$ def	$3,09 \pm 1,0$ cde
17.6	$3,56 \pm 1,1$ cdef	$0,28 \pm 0,2$ abcd	$14,6 \pm 4,9$ hi	$7,2 \pm 0,3$ def	$2,33 \pm 1,0$ abcde
17.7	$3,00 \pm 4,3$ bcdef	$0,33 \pm 0,1$ abcd	$9,4 \pm 2,2$ bcdefg	$6,4 \pm 1,2$ def	$2,23 \pm 0,5$ abcde
18.9	$1,98 \pm 0,6$ abc	$0,33 \pm 0,1$ abcd	$6,6 \pm 2,4$ abcd	$1,2 \pm 0,3$ a	$3,17 \pm 0,9$ de
19.5	$3,78 \pm 0,4$ def	$0,28 \pm 0,1$ abcd	$14,3 \pm 0,9$ ghi	$6,7 \pm 3,0$ def	$2,21 \pm 0,4$ abcde
21.1	$2,03 \pm 0,2$ abc	$0,46 \pm 0,1$ de	$4,7 \pm 0,9$ ab	$4,3 \pm 2,0$ bcd	$2,72 \pm 0,4$ abcde
21.7	$3,70 \pm 0,6$ cdef	$0,44 \pm 0,2$ cde	$9,1 \pm 2,4$ bcdef	$6,4 \pm 1,5$ def	$2,38 \pm 0,3$ abcde
23.7	$3,10 \pm 0,8$ bcdef	$0,25 \pm 0,1$ abc	$13,1 \pm 2,6$ fghi	$6,5 \pm 1,9$ def	$2,46 \pm 0,4$ abcde
23.9	$3,16 \pm 0,9$ cdef	$0,24 \pm 0,1$ ab	$13,3 \pm 3,5$ fghi	$6,0 \pm 2,2$ def	$2,45 \pm 0,2$ abcde
24.2	$4,28 \pm 1,7$ f	$0,32 \pm 0,1$ abcd	$13,2 \pm 1,3$ fghi	$5,7 \pm 1,8$ cde	$2,12 \pm 0,4$ abcde
25.2	$2,20 \pm 0,9$ abcd	$0,25 \pm 0,1$ abc	$8,7 \pm 1,4$ bcdef	$6,2 \pm 0,3$ def	$2,15 \pm 0,5$ abcde
26.8	$3,10 \pm 1,2$ bcdef	$0,32 \pm 0,1$ abcd	$9,6 \pm 1,1$ cdefgh	$7,3 \pm 0,9$ ef	$1,87 \pm 0,4$ ab
30.2	$3,18 \pm 0,7$ cdef	$0,26 \pm 0,1$ abcd	$12,3 \pm 1,9$ efghi	$7,4 \pm 1,3$ ef	$2,64 \pm 0,4$ abcde
32.7	$1,40 \pm 0,4$ ab	$0,53 \pm 0,1$ e	$2,7 \pm 0,7$ a	$7,5 \pm 1,8$ ef	$2,64 \pm 0,5$ abcde
34.6	$3,39 \pm 0,9$ cdef	$0,28 \pm 0,1$ abcd	$12,7 \pm 4,5$ efghi	$7,7 \pm 1,4$ ef	$2,36 \pm 0,4$ abcde
36.1	$4,03 \pm 1,2$ ef	$0,44 \pm 0,2$ cde	$9,6 \pm 1,6$ bcdefgh	$5,5 \pm 2,6$ cde	$2,46 \pm 0,7$ abcde
36.7	$2,58 \pm 0,9$ abcdef	$0,36 \pm 0,1$ abcde	$7,7 \pm 4,0$ bcde	$5,7 \pm 1,6$ cde	$2,52 \pm 0,7$ abcde
37.1	$2,74 \pm 0,8$ abcdef	$0,27 \pm 0,1$ abcd	$10,2 \pm 2,9$ cdefghi	$7,3 \pm 1,0$ ef	$1,82 \pm 0,6$ ab
40.1	$3,09 \pm 0,5$ bcdef	$0,35 \pm 0,1$ abcd	$9,4 \pm 2,6$ bcdefg	$5,3 \pm 2,6$ cde	$2,02 \pm 1,6$ abc
42.1	$3,46 \pm 0,2$ cdef	$0,31 \pm 0,02$ abcd	$11,4 \pm 1,4$ defghi	$3,0 \pm 2,1$ abc	$1,97 \pm 0,5$ ab
42.2	$3,17 \pm 1,1$ cdef	$0,24 \pm 0,1$ ab	$13,1 \pm 0,9$ fghi	$7,0 \pm 1,4$ def	$2,32 \pm 0,5$ abcde
42.3	$3,56 \pm 1,9$ cdef	$0,27 \pm 0,1$ abcd	$13,0 \pm 4,6$ fghi	$6,2 \pm 1,5$ def	$2,07 \pm 0,1$ abc
42.7	$2,97 \pm 0,5$ bcdef	$0,31 \pm 0,1$ abcd	$10,0 \pm 3,0$ cdefgh	$6,3 \pm 1,3$ def	$1,89 \pm 0,5$ ab
45.3	$2,96 \pm 0,5$ bcdef	$0,29 \pm 0,1$ abcd	$10,2 \pm 1,8$ cddeghi	$7,3 \pm 0,7$ ef	$1,93 \pm 0,3$ ab
47.2	$3,44 \pm 3,4$ cdef	$0,28 \pm 0,1$ abcd	$12,6 \pm 2,0$ efghi	$6,8 \pm 1,8$ def	$2,27 \pm 0,4$ abcde
47.3	$3,30 \pm 0,6$ cdef	$0,28 \pm 0,1$ abcd	$13,0 \pm 4,4$ fghi	$8,8 \pm 0,3$ f	$2,29 \pm 0,6$ abcde
47.5	$2,80 \pm 1,1$ bcdef	$0,30 \pm 0,1$ abcd	$9,2 \pm 2,0$ bcdef	$7,2 \pm 1,5$ def	$2,00 \pm 0,5$ ab
48.1	$2,75 \pm 1,6$ abcdef	$0,26 \pm 0,1$ abcd	$10,1 \pm 1,7$ cdefgh	$5,7 \pm 2,6$ cde	$2,62 \pm 1,1$ abcde
48.2	$3,79 \pm 1,4$ def	$0,38 \pm 0,1$ abcde	$10,1 \pm 2,3$ cdefgh	$6,2 \pm 2,1$ def	$2,78 \pm 0,8$ bcde
48.4	$3,59 \pm 0,7$ cdef	$0,29 \pm 0,1$ abcd	$12,4 \pm 2,2$ efghi	$7,0 \pm 0,5$ def	$2,65 \pm 0,6$ abcde
49.1	$3,51 \pm 1,6$ cdef	$0,40 \pm 0,2$ bcde	$9,5 \pm 4,4$ bcdefg	$6,2 \pm 0,6$ def	$2,23 \pm 0,5$ abcde
49.8	$3,26 \pm 0,9$ cdef	$0,37 \pm 0,1$ abcde	$9,4 \pm 4,2$ bcdefg	$6,7 \pm 1,4$ def	$2,29 \pm 0,4$ abcde
50.7	$1,98 \pm 0,9$ abc	$0,20 \pm 0,1$ a	$11,0 \pm 4,4$ defghi	$3,0 \pm 1,6$ abc	$2,28 \pm 0,8$ abcde
CV9	$2,96 \pm 0,6$ bcdef	$0,26 \pm 0,01$ abcd	$11,3 \pm 2,5$ defghi	$6,5 \pm 3,0$ def	$2,13 \pm 0,1$ abcde
CF55	$1,13 \pm 0,3$ a	$0,26 \pm 0,1$ abcd	$4,7 \pm 1,4$ ab	$2,7 \pm 1,4$ ab	$2,10 \pm 0,1$ abcd

Tabla AII-3: Promedios y desviación estándar de sólidos solubles totales, acidez, pH y las relaciones acidez-sólidos solubles totales y pH-sólidos solubles totales

Biotipo	SST ($^{\circ}$ Brix)	Acidez (g/L tartárico a pH = 7)	pH	Acidez/SST	pH/SST
4.1	21,3 ± 0,4 ^c	4,7 ± 0,3 ^a	3,79 ± 0,3 ^c	0,22 ± 0,02 ^a	0,178 ± 0,02 ^a
4.2	19,8 ± 1,1 ^{abcde}	5,4 ± 0,5 ^{abcdef}	3,73 ± 0,4 ^{bc}	0,28 ± 0,04 ^{abcdef}	0,188 ± 0,02 ^a
4.8	18,9 ± 0,5 ^{abcd}	5,3 ± 0,5 ^{abcdef}	3,60 ± 0,4 ^{abc}	0,28 ± 0,04 ^{abcdef}	0,190 ± 0,02 ^a
5.3	18,8 ± 2,0 ^{abc}	5,6 ± 0,5 ^{abcdef}	3,57 ± 0,3 ^{abc}	0,31 ± 0,06 ^{bcd}	0,190 ± 0,02 ^a
7.2	19,3 ± 1,0 ^{abcde}	5,4 ± 0,5 ^{abcdef}	3,46 ± 0,1 ^{ab}	0,28 ± 0,04 ^{abcdef}	0,180 ± 0,01 ^a
11.6	18,6 ± 1,4 ^{ab}	6,2 ± 1,0 ^f	3,31 ± 0,07 ^a	0,34 ± 0,08 ^f	0,179 ± 0,01 ^a
12.4	19,3 ± 0,9 ^{abcde}	4,8 ± 0,6 ^{ab}	3,50 ± 0,07 ^{abc}	0,25 ± 0,04 ^{abc}	0,181 ± 0,01 ^a
14.5	19,5 ± 2,0 ^{abede}	5,9 ± 0,1 ^{def}	3,40 ± 0,09 ^a	0,31 ± 0,02 ^{cdef}	0,175 ± 0,01 ^a
14.9	19,3 ± 1,8 ^{abcde}	5,3 ± 0,7 ^{abcdef}	3,50 ± 0,04 ^{abc}	0,27 ± 0,02 ^{abcdef}	0,182 ± 0,02 ^a
15.5	20,7 ± 0,7 ^{cde}	5,3 ± 0,3 ^{abcdef}	3,60 ± 0,2 ^{abc}	0,26 ± 0,01 ^{abcd}	0,174 ± 0,01 ^a
17.6	18,3 ± 1,7 ^a	5,5 ± 0,5 ^{abcdef}	3,50 ± 0,2 ^{abc}	0,30 ± 0,06 ^{bcd}	0,192 ± 0,02 ^a
17.7	19,1 ± 1,1 ^{abed}	6,1 ± 0,3 ^{ef}	3,47 ± 0,2 ^{abc}	0,32 ± 0,03 ^{cdef}	0,182 ± 0,01 ^a
18.9	20,5 ± 1,2 ^{bcde}	4,8 ± 0,3 ^{ab}	3,57 ± 0,06 ^{abc}	0,24 ± 0,02 ^{ab}	0,174 ± 0,01 ^a
19.5	19,3 ± 0,6 ^{abede}	5,7 ± 1,2 ^{bcdef}	3,41 ± 0,07 ^{ab}	0,30 ± 0,07 ^{bcd}	0,177 ± 0,002 ^a
21.1	19,9 ± 1,1 ^{abede}	5,0 ± 0,5 ^{abcd}	3,47 ± 0,08 ^{abc}	0,25 ± 0,03 ^{abc}	0,174 ± 0,01 ^a
21.7	19,2 ± 0,9 ^{abede}	5,5 ± 0,5 ^{abcdef}	3,37 ± 0,04 ^a	0,29 ± 0,04 ^{abcdef}	0,175 ± 0,07 ^a
23.7	18,6 ± 1,1 ^{ab}	5,5 ± 0,2 ^{abcdef}	3,50 ± 0,1 ^{abc}	0,30 ± 0,01 ^{bcd}	0,189 ± 0,02 ^a
23.9	19,6 ± 1,2 ^{abede}	5,2 ± 0,4 ^{abede}	3,46 ± 0,1 ^{abc}	0,26 ± 0,03 ^{abcde}	0,177 ± 0,01 ^a
24.2	19,4 ± 1,1 ^{abede}	5,6 ± 0,3 ^{abcdef}	3,40 ± 0,09 ^a	0,29 ± 0,03 ^{abcdef}	0,176 ± 0,01 ^a
25.2	18,7 ± 1,9 ^{abc}	5,1 ± 0,5 ^{abed}	3,48 ± 0,09 ^{abc}	0,28 ± 0,06 ^{abcdef}	0,188 ± 0,02 ^a
26.8	19,4 ± 0,4 ^{abede}	5,1 ± 0,2 ^{abcd}	3,57 ± 0,4 ^{abc}	0,26 ± 0,01 ^{abcde}	0,184 ± 0,02 ^a
30.2	19,4 ± 0,9 ^{abede}	5,2 ± 0,4 ^{abede}	3,59 ± 0,3 ^{abc}	0,27 ± 0,03 ^{abcde}	0,185 ± 0,02 ^a
32.7	18,4 ± 1,7 ^{ab}	5,2 ± 0,6 ^{abcde}	3,46 ± 0,05 ^{abc}	0,29 ± 0,06 ^{abcdef}	0,190 ± 0,02 ^a
34.6	18,2 ± 1,6 ^a	6,0 ± 0,4 ^{def}	3,41 ± 0,09 ^{ab}	0,33 ± 0,05 ^{ef}	0,188 ± 0,01 ^a
36.1	18,8 ± 0,9 ^{abc}	6,1 ± 0,4 ^{ef}	3,42 ± 0,1 ^{ab}	0,32 ± 0,04 ^{def}	0,181 ± 0,007 ^a
36.7	19,6 ± 1,1 ^{abede}	5,2 ± 0,2 ^{abcde}	3,51 ± 0,05 ^{abc}	0,27 ± 0,01 ^{abcde}	0,179 ± 0,01 ^a
37.1	19,2 ± 0,8 ^{abcd}	5,3 ± 0,6 ^{abcdef}	3,48 ± 0,05 ^{abc}	0,28 ± 0,03 ^{abcdef}	0,182 ± 0,008 ^a
40.1	19,0 ± 1,4 ^{abed}	5,3 ± 0,6 ^{abcdef}	3,41 ± 0,09 ^{ab}	0,28 ± 0,04 ^{abcdef}	0,180 ± 0,01 ^a
42.1	19,6 ± 0,5 ^{abede}	5,5 ± 0,5 ^{abcdef}	3,45 ± 0,09 ^{ab}	0,28 ± 0,03 ^{abcdef}	0,176 ± 0,007 ^a
42.2	19,1 ± 1,3 ^{abed}	4,7 ± 0,6 ^a	3,56 ± 0,2 ^{abc}	0,25 ± 0,05 ^{abc}	0,187 ± 0,02 ^a
42.3	18,4 ± 1,4 ^{ab}	5,8 ± 0,6 ^{cdef}	3,49 ± 0,3 ^{abc}	0,32 ± 0,04 ^{cdef}	0,190 ± 0,01 ^a
42.7	19,0 ± 0,6 ^{abed}	5,7 ± 0,6 ^{bcdef}	3,51 ± 0,2 ^{abc}	0,30 ± 0,04 ^{bcd}	0,184 ± 0,01 ^a
45.3	19,8 ± 0,4 ^{abede}	5,0 ± 0,2 ^{abcd}	3,52 ± 0,1 ^{abc}	0,25 ± 0,01 ^{abc}	0,177 ± 0,008 ^a
47.2	19,0 ± 0,6 ^{abed}	5,3 ± 0,6 ^{abcdef}	3,45 ± 0,05 ^{ab}	0,28 ± 0,03 ^{abcdef}	0,181 ± 0,003 ^a
47.3	19,5 ± 1,8 ^{abede}	5,3 ± 0,5 ^{abcdef}	3,47 ± 0,2 ^{abc}	0,28 ± 0,05 ^{abcdef}	0,178 ± 0,01 ^a
47.5	19,4 ± 0,5 ^{abede}	5,3 ± 0,4 ^{abcdef}	3,43 ± 0,05 ^{ab}	0,28 ± 0,02 ^{abcdef}	0,176 ± 0,005 ^a
48.1	19,8 ± 0,9 ^{abede}	5,0 ± 0,5 ^{abc}	3,57 ± 0,3 ^{abc}	0,25 ± 0,04 ^{abc}	0,180 ± 0,02 ^a
48.2	18,9 ± 0,6 ^{abed}	5,3 ± 0,3 ^{abcdef}	3,57 ± 0,3 ^{abc}	0,28 ± 0,02 ^{abcdef}	0,188 ± 0,02 ^a
48.4	19,0 ± 0,7 ^{abed}	5,5 ± 0,7 ^{abcdef}	3,53 ± 0,2 ^{abc}	0,29 ± 0,04 ^{abcdef}	0,186 ± 0,009 ^a
49.1	20,0 ± 1,2 ^{abede}	5,2 ± 0,9 ^{abcdef}	3,50 ± 0,2 ^{abc}	0,27 ± 0,06 ^{abcd}	0,176 ± 0,01 ^a
49.8	19,4 ± 1,1 ^{abede}	5,6 ± 0,7 ^{abcdef}	3,40 ± 0,07 ^a	0,29 ± 0,05 ^{abcdef}	0,175 ± 0,008 ^a
50.7	19,6 ± 0,9 ^{abede}	5,0 ± 0,1 ^{abc}	3,49 ± 0,07 ^{abc}	0,25 ± 0,01 ^{abc}	0,178 ± 0,007 ^a
CV9	19,8 ± 1,8 ^{abede}	5,1 ± 0,4 ^{abcd}	3,55 ± 0,2 ^{abc}	0,26 ± 0,04 ^{abcd}	0,180 ± 0,02 ^a
CF55	20,9 ± 0,7 ^{de}	4,9 ± 0,7 ^{abc}	3,60 ± 0,06 ^{abc}	0,24 ± 0,03 ^{ab}	0,172 ± 0,008 ^a

Tabla AII-4: Promedios y desviación estándar de antocianos, polifenoles, y la relación antocianos-sólidos solubles totales.

Biotipo	Antocianos (mg/g)	Polifenoles (mg/g)	Antocianos/SST
4.1	1,2 ± 0,1 ^{ab}	2,7 ± 0,2 ^a	0,06 ± 0,004 ^{abc}
4.2	1,1 ± 0,2 ^{ab}	3,0 ± 0,4 ^{abc}	0,05 ± 0,01 ^{abc}
4.8	1,0 ± 0,1 ^a	3,1 ± 0,2 ^{abc}	0,05 ± 0,006 ^{ab}
5.3	1,2 ± 0,2 ^{ab}	3,0 ± 0,5 ^{abc}	0,06 ± 0,01 ^{abc}
7.2	1,4 ± 0,3 ^{ab}	3,4 ± 0,5 ^{abc}	0,07 ± 0,01 ^{abc}
11.6	1,4 ± 0,4 ^{ab}	3,4 ± 0,4 ^{abc}	0,08 ± 0,02 ^{abc}
12.4	1,2 ± 0,2 ^{ab}	3,2 ± 0,3 ^{abc}	0,06 ± 0,09 ^{abc}
14.5	1,3 ± 0,4 ^{ab}	3,3 ± 0,5 ^{abc}	0,06 ± 0,02 ^{abc}
14.9	1,1 ± 0,3 ^{ab}	3,1 ± 0,4 ^{abc}	0,06 ± 0,01 ^{abc}
15.5	1,3 ± 0,3 ^{ab}	3,2 ± 0,4 ^{abc}	0,06 ± 0,02 ^{abc}
17.6	1,3 ± 0,3 ^{ab}	3,6 ± 0,7 ^{bc}	0,07 ± 0,02 ^{abc}
17.7	1,5 ± 0,4 ^{ab}	3,5 ± 0,8 ^{abc}	0,08 ± 0,02 ^{bc}
18.9	1,5 ± 0,4 ^{ab}	3,2 ± 0,2 ^{abc}	0,07 ± 0,02 ^{abc}
19.5	1,2 ± 0,2 ^{ab}	3,0 ± 0,2 ^{abc}	0,06 ± 0,01 ^{abc}
21.1	1,2 ± 0,2 ^{ab}	3,1 ± 0,3 ^{abc}	0,06 ± 0,008 ^{abc}
21.7	1,2 ± 0,2 ^{ab}	3,0 ± 0,2 ^{abc}	0,06 ± 0,01 ^{abc}
23.7	1,2 ± 0,6 ^{ab}	2,8 ± 0,8 ^{abc}	0,07 ± 0,02 ^{abc}
23.9	1,2 ± 0,2 ^{ab}	3,0 ± 0,3 ^{abc}	0,06 ± 0,09 ^{abc}
24.2	1,1 ± 0,2 ^{ab}	2,8 ± 0,3 ^{abc}	0,06 ± 0,02 ^{abc}
25.2	1,2 ± 0,1 ^{ab}	3,2 ± 0,3 ^{abc}	0,06 ± 0,008 ^{abc}
26.8	1,4 ± 0,1 ^{ab}	3,4 ± 0,3 ^{abc}	0,07 ± 0,007 ^{abc}
30.2	1,0 ± 0,2 ^a	2,8 ± 0,4 ^{abc}	0,05 ± 0,009 ^a
32.7	1,2 ± 0,6 ^{ab}	3,0 ± 0,7 ^{abc}	0,06 ± 0,02 ^{abc}
34.6	1,1 ± 0,3 ^{ab}	3,1 ± 0,3 ^{abc}	0,06 ± 0,02 ^{abc}
36.1	1,2 ± 0,2 ^{ab}	3,1 ± 0,3 ^{abc}	0,07 ± 0,008 ^{abc}
36.7	1,3 ± 0,3 ^{ab}	3,2 ± 0,6 ^{abc}	0,07 ± 0,02 ^{abc}
37.1	1,4 ± 0,6 ^{ab}	3,2 ± 0,6 ^{abc}	0,07 ± 0,03 ^{abc}
40.1	1,1 ± 0,1 ^{ab}	2,8 ± 0,5 ^{abc}	0,06 ± 0,01 ^{abc}
42.1	1,4 ± 0,3 ^{ab}	3,4 ± 0,6 ^{abc}	0,07 ± 0,02 ^{abc}
42.2	1,1 ± 0,1 ^{ab}	2,8 ± 0,2 ^{abc}	0,06 ± 0,004 ^{abc}
42.3	0,9 ± 0,2 ^a	2,8 ± 0,6 ^{ab}	0,05 ± 0,01 ^{ab}
42.7	1,3 ± 0,5 ^{ab}	3,2 ± 0,9 ^{abc}	0,07 ± 0,03 ^{abc}
45.3	1,3 ± 0,2 ^{ab}	3,4 ± 0,2 ^{abc}	0,06 ± 0,008 ^{abc}
47.2	1,0 ± 0,2 ^{ab}	2,9 ± 0,4 ^{abc}	0,05 ± 0,008 ^{abc}
47.3	1,2 ± 0,7 ^{ab}	3,1 ± 0,9 ^{abc}	0,06 ± 0,03 ^{abc}
47.5	1,1 ± 0,2 ^{ab}	3,0 ± 0,3 ^{abc}	0,06 ± 0,01 ^{abc}
48.1	1,4 ± 0,3 ^{ab}	3,3 ± 0,3 ^{abc}	0,07 ± 0,01 ^{abc}
48.2	1,3 ± 0,3 ^{ab}	3,2 ± 0,4 ^{abc}	0,07 ± 0,02 ^{abc}
48.4	1,2 ± 0,2 ^{ab}	3,1 ± 0,3 ^{abc}	0,06 ± 0,01 ^{abc}
49.1	1,2 ± 0,3 ^{ab}	3,0 ± 0,5 ^{abc}	0,06 ± 0,01 ^{abc}
49.8	1,4 ± 0,3 ^{ab}	3,3 ± 0,5 ^{abc}	0,07 ± 0,02 ^{abc}
50.7	1,6 ± 0,3 ^b	3,6 ± 0,4 ^{bc}	0,08 ± 0,02 ^c
CV9	1,5 ± 0,5 ^{ab}	3,6 ± 0,7 ^{bc}	0,07 ± 0,02 ^{abc}
CF55	1,4 ± 0,2 ^{ab}	3,6 ± 0,4 ^c	0,07 ± 0,007 ^{abc}